

การแสดงออกของอินเตอร์ลิวคิน-8 ในเซลล์กระดูกเข้าพินมนุษย์ เมื่อถูกกระตุ้นด้วยไลโปโพลีแซคคาไรด์

จรัสลักษณ์ สุขอวยชัย* อินทรา วงศ์เยาว์ฟ้า** นิสดา ธเนศวร***

บทคัดย่อ

วัตถุประสงค์: การศึกษานี้มีวัตถุประสงค์เพื่อตรวจสอบการแสดงออกของอินเตอร์ลิวคิน-8 ในเซลล์ปฐมภูมิกระดูกเข้าพินมนุษย์เมื่อถูกกระตุ้นด้วยไลโปโพลีแซคคาไรด์เชื้อเอสเชอริเชีย โคลิ

วัตถุประสงค์และวิธีการ: เซลล์กระดูกเข้าพินมนุษย์ทั้ง 3 โล้นี้ ถูกนำมาเพาะเลี้ยงในอาหารเลี้ยงเซลล์ที่มีและไม่มีไลโปโพลีแซคคาไรด์ปริมาณ 0.5 และ 5 ไมโครกรัมต่อมิลลิตรเป็นเวลา 24 ชั่วโมง ในอีกการทดลองหนึ่ง เลี้ยงเซลล์กระดูกเข้าพินมนุษย์ในอาหารเลี้ยงเซลล์ที่กระตุ้นให้เกิดการเปลี่ยนสภาพเป็นเซลล์สร้างเนื้อเยื่อแข็งเป็นเวลา 7 วัน แล้วกระตุ้นด้วยไลโปโพลีแซคคาไรด์ต่ออีก 7 วัน เมื่อครบเวลาที่กำหนด ตรวจสอบการแสดงออกของอินเตอร์ลิวคิน-8 ด้วยวิธีเรียลไทม์พีซีอาร์ และวิธีอิลูซา

ผลการศึกษา: จากการเพาะเลี้ยงเป็นเวลา 24 ชั่วโมง พบว่าเซลล์กระดูกเข้าพินมนุษย์ทั้ง 3 โล้นี้มีการแสดงออกของอินเตอร์ลิวคิน-8 และมีการเพิ่มระดับขึ้นเมื่อกระตุ้นด้วยไลโปโพลีแซคคาไรด์ สอดคล้องกับเซลล์ที่ถูกกระตุ้นให้เกิดการเปลี่ยนสภาพเป็นเซลล์สร้างเนื้อเยื่อแข็ง ผลของอิลูซายืนยันการพบอินเตอร์ลิวคิน-8 ในอาหารเลี้ยงเซลล์ และเพิ่มระดับขึ้นเมื่อกระตุ้นด้วยไลโปโพลีแซคคาไรด์

สรุป: เซลล์กระดูกเข้าพินมนุษย์เป็นแหล่งในการผลิตอินเตอร์ลิวคิน-8 ความเข้าใจในกลไกของกระบวนการดังกล่าวมีความสำคัญ อาจนำไปสู่การพัฒนาการรักษารอยโรครอบปลายรากฟันได้อย่างมีประสิทธิภาพต่อไปในอนาคต

คำสำคัญ: อินเตอร์ลิวคิน-8 ไลโปโพลีแซคคาไรด์ เซลล์กระดูกเข้าพินมนุษย์ รอยโรครอบปลายรากฟัน

*ทันตแพทย์ชำนาญการ กลุ่มงานบริการทันตสาธารณสุข 3 กองทันตสาธารณสุข สำนักอนามัย ศูนย์บริการสาธารณสุข 10 ถนนสุขุมวิท แขวงคลองตัน เขตคลองเตย กรุงเทพมหานคร 10110

**อาจารย์ ภาควิชาทันตกรรมอนุรักษ์และทันตกรรมประดิษฐ์ คณะทันตแพทยศาสตร์ มหาวิทยาลัยศรีนครินทรวิโรฒ สุขุมวิท 23 เขตวัฒนา กรุงเทพมหานคร 10110

***รองศาสตราจารย์ ภาควิชาโอบุรุษวิทยา คณะทันตแพทยศาสตร์ มหาวิทยาลัยศรีนครินทรวิโรฒ สุขุมวิท 23 เขตวัฒนา กรุงเทพมหานคร 10110

Expression of Interleukin-8 in Human Alveolar Bone Cells Stimulated by Lipopolysaccharide

Jarasluck Suk-auychai* Indra Wongyaofa** Nirada Dhanesuan***

Abstract

Objective: This study aimed to investigate interleukin-8 (IL-8) expression in primary human alveolar bone cells (ALV) in culture media as well as stimulated by lipopolysaccharide (LPS) from *Escherichia coli* (*E. Coli*).

Material and Methods: Three lines of ALV were cultured in the presence or absence of 0.5 and 5 µg/ml of LPS for 24 hours. In another experiment, ALV were cultured in osteogenic media to induce *in vitro* osteogenic differentiation for 1 week. LPS at 0.5 or 5 µg/ml were then added to the cells and cultured for another week. At the end point, mRNA was extracted and real-time PCR was performed to assess IL-8 expression. Cultured media was also collected and ELISA was performed to assess secreted IL-8 protein.

Results: At 24-hour culture, all three ALV lines expressed IL-8 mRNA (adjusted to 1 relative to GAPDH) and the level of the up-regulations were increased by the stimulation of 0.5 and 5 µg/ml of LPS (ALV1: 1/ 1809/ 2034, ALV2: 1/ 485.64/ 752.56, ALV3: 1/ 1036.19/ 2410.71). In the osteogenic media, similar result was observed (ALV1: 1/ 429.87/ 2073.65, ALV2: 1/ 93.49/ 322.45, ALV3: 1/ 311.6/ 158.57). ELISA confirmed the secretion of IL-8 (6.83 ± 0.44 ng/ml) by ALV in the media and the up-regulations by 0.5 and 5 µg/ml of LPS stimulation were 108.28 ± 6.18 and 108.42 ± 8.42 ng/ml, respectively.

Conclusion: This study revealed ALV as a source of IL-8 when challenged by bacterial LPS. Understanding of its mechanism and pathway is crucial for development of a better treatment for periapical lesion in the future.

Key words: Interleukin-8, Lipopolysaccharide, Human alveolar bone cells, Periapical lesion

*Dentist, Department of Dental Health Services 3, Dental Health Division, Bureau of Health, Bangkok. Health Center 10, Sukhumvit Road, Klongton, Klongtoey, Bangkok 10110

**Lecturer, Department of Conservative Dentistry and Prosthodontics, Faculty of Dentistry, Srinakharinwirot University, Sukhumvit 23, Wattana, Bangkok 10110

***Associate Professor, Department of Stomatology, Faculty of Dentistry, Srinakharinwirot University, Sukhumvit 23, Wattana, Bangkok 10110

บทนำ

ไลโปโพลีแซคคาไรด์ (lipopolysaccharide: LPS) เป็นส่วนประกอบบนผนังเซลล์ของแบคทีเรียในกลุ่มแกรมลบ จัดเป็นปัจจัยที่มีความรุนแรง (virulence factors) ที่สำคัญและก่อให้เกิดพยาธิสภาพของเนื้อเยื่อในและเนื้อเยื่อรอบปลายรากฟัน เริ่มต้นจากการติดเชื้อแบคทีเรียเข้าสู่คลองรากฟัน มีการลุกลามสู่เนื้อเยื่อรอบปลายรากฟัน ซึ่งร่างกายจะตอบสนองด้วยการเกิดกระบวนการอักเสบ มีการสร้างและหลั่งไซโทไคน์อักเสบต่างๆ เช่น อินเตอร์ลิวคิน-1 อินเตอร์ลิวคิน-6 อินเตอร์ลิวคิน-8 ทูเมอร์เนคโครซิสแฟกเตอร์แอลฟา พรอสตาแกรนดินอีทู และไนตริกออกไซด์ เป็นต้น ทำให้เกิดการทำลายอวัยวะปริทันต์ และเกิดเป็นรอยโรครอบรากฟัน [1-3]

อินเตอร์ลิวคิน-8 เป็นไซโทไคน์อักเสบชนิดหนึ่งที่ถูกสร้างในระยะแรกของการอักเสบ มีหน้าที่เหนี่ยวนำให้เกิดการรวมตัวกัน (chemotaxis) และกระตุ้นการทำงานของเซลล์อักเสบนิวโทรฟิล (neutrophils) ให้มีการสร้างและปลดปล่อยเอนไซม์ เช่น ซุปเปอร์ออกไซด์ (superoxide) ออกสู่ภายนอกเซลล์ อินเตอร์ลิวคิน-8 ถูกสร้างได้จากเซลล์หลายชนิด เช่น เซลล์ฟาโกไซต์ (phagocytes) เซลล์โมโนไซต์ (monocytes) เซลล์บุผิว (epithelium cells) เซลล์บุหลอดเลือด (endothelial cells) เซลล์สร้างเส้นใย (fibroblasts) และเซลล์สร้างเนื้อฟัน (odontoblasts) [4-6] สามารถตรวจพบอินเตอร์ลิวคิน-8 ได้ในเนื้อเยื่อในฟันและเนื้อเยื่อรอบปลายรากฟันที่มีการอักเสบ [7-9] นอกจากนี้ยังพบการเพิ่มขึ้นของอินเตอร์ลิวคิน-8 ในน้ำเหลืองเหงือก (gingival crevicular fluid) ของฟันที่มีการอักเสบเฉียบพลันของเนื้อเยื่อในฟันและฟันที่มีโรคปริทันต์อักเสบ [10-12]

เซลล์กระดูกนอกจากทำหน้าที่รักษาโครงสร้างของกระดูกในสภาวะปกติแล้ว ยังสามารถสร้างไซโทไคน์อักเสบต่างๆ เพื่อตอบสนองต่อการรุกรานของแบคทีเรียได้ เช่น เมื่อกระตุ้นเซลล์กระดูกด้วยไลโปโพลีแซคคาไรด์ พบมีการหลั่งเอ็นไซม์สลายคอลลาเจน [13] อินเตอร์ลิวคิน-6 [14-16] และไนตริกออกไซด์ [17] ซึ่งมีผลให้เกิดการสูญเสียกระดูกในอวัยวะปริทันต์รอบรากฟันได้ [18]

การศึกษาในเซลล์กระดูกเขี้ยวฟันมนุษย์ยังมีไม่มากนัก มีเพียงการศึกษาถึงผลของแรงกดต่อการแสดงออกของไซโทไคน์อักเสบต่างๆ [19] และการศึกษาเกี่ยวกับการตอบสนองต่อไลโปโพลีแซคคาไรด์ของคณะผู้วิจัยก่อนหน้า (อินทรา และคณะ) [20] ซึ่งพบมีการแสดงออกของอินเตอร์ลิวคิน-6 เพิ่มมากขึ้นเมื่อกระตุ้นเซลล์กระดูกเขี้ยวฟันมนุษย์ด้วยไลโปโพลีแซคคาไรด์ของเอสเชอริเชีย โคลิ (*Escherichia coli: E.coli*) เท่านั้น

จากเหตุผลดังกล่าวทำให้คณะผู้วิจัยมีความสนใจที่จะทำการศึกษถึงผลของไลโปโพลีแซคคาไรด์ต่อการแสดงออกของอินเตอร์ลิวคิน-8 ในเซลล์กระดูกเขี้ยวฟันมนุษย์ ซึ่งจะเป็นโยบายต่อการเข้าใจกลไกการเกิดพยาธิสภาพ การดำเนินของรอยโรครอบปลายรากฟันได้ใกล้เคียงกับความเป็นจริงมากขึ้น

วัตถุประสงค์และวิธีการ

การเพาะเลี้ยงเซลล์กระดูกเขี้ยวฟันมนุษย์

ทำการเพาะเลี้ยงเซลล์จากชิ้นกระดูกเขี้ยวฟันที่ไม่มีรอยโรคของฟันและเนื้อเยื่อปริทันต์จากผู้ป่วยที่ได้รับการผ่าฟันคุดที่ภาควิชาศัลยศาสตร์และเวชศาสตร์ช่องปาก คณะทันตแพทยศาสตร์ มหาวิทยาลัยศรีนครินทรวิโรฒ โดยได้รับความเห็นชอบจากคณะกรรมการพิจารณาจริยธรรมในงานวิจัย คณะทันตแพทยศาสตร์ มหาวิทยาลัยศรีนครินทรวิโรฒ เลขที่ 12 /2555 และได้รับความยินยอมจากผู้ป่วย

นำชิ้นกระดูกเขี้ยวฟันมาล้างด้วยฟอสเฟตบัฟเฟอร์ชாலายนปราศจากเชื้อ (Sterile Phosphate Buffer Saline: PBS) ให้สะอาด ตัดชิ้นกระดูกให้เป็นชิ้นเล็กๆ ด้วยมีดผ่าตัด นำชิ้นกระดูกมาเลี้ยงในจานเลี้ยงเซลล์ขนาด 35 มิลลิเมตร ด้วยอาหารเลี้ยงเซลล์ชนิดดีเอ็มอีเอ็มเอฟ 12 (Dulbecco's Modified Eagle Medium F12: DMEM F12, Gibco®), Carlsbad, CA, USA) ที่มีส่วนผสมของซีรัมจากลูกอ่อนวัวร้อยละ 10 (10% Fetal calf serum: FCS, Gibco®) กลูตามีน (glutamine, Invitrogen, Grand Island, NY)

ยาปฏิชีวนะและยาด้านเชื้อรา (antibiotics and anti-mycotics, Invitrogen, Grand Island, NY) ทำการเลี้ยงเซลล์ในตู้บัพที่มีปริมาณคาร์บอนไดออกไซด์ร้อยละ 5 อุณหภูมิ 37 องศาเซลเซียส รोजนเซลล์จากชั้นกระดูกเจริญออกมาอยู่บนจานเลี้ยงเซลล์ และเจริญเต็มพื้นที่ของจานเลี้ยงเซลล์จึงทำการถ่ายเซลล์ลงสู่จานเลี้ยงเซลล์ใหม่ (subculture) ในอัตราส่วน 1:2 โดยใช้เอนไซม์ทริปซิน-อีดีทีเอ (trypsin-EDTA, Gibco®) เลี้ยงเซลล์ในอาหารเลี้ยงเซลล์ชนิดดีเอ็มอีเอ็ม (Dulbecco's Modified Eagle Medium: DMEM, Gibco®) ที่มีส่วนผสมของซีรัมจากลูกอ่อนวัวร้อยละ 10 (10% FCS-DMEM)

การทดสอบความสามารถในการตกตะกอนแคลเซียมในจานเลี้ยง (in vitro mineralization)

ทำการถ่ายเซลล์ลงในจานเลี้ยงเซลล์แบบ 6 หลุม (6 well plate) ให้มีความหนาแน่น 150,000 เซลล์ต่อหลุม ในอาหารเลี้ยงเซลล์ 10% FCS-DMEM เป็นเวลา 48 ชั่วโมง จากนั้นจะแบ่งเซลล์ออกเป็น 2 กลุ่ม ได้แก่ กลุ่มที่เลี้ยงในอาหารชนิดเดิม (10% FCS-DMEM) และกลุ่มที่เลี้ยงด้วยอาหารเลี้ยงเซลล์ที่มีฤทธิ์เหนี่ยวนำให้แปรสภาพเป็นเซลล์สร้างเนื้อเยื่อแข็ง (osteogenic media) ซึ่งมีส่วนผสมของกรดแอสคอร์บิก (ascorbic acid, Gibco®) 50 ไมโครกรัมต่อมิลลิลิตร เบต้ากลีเซอโรฟอสเฟต (β -glycerophosphate, Gibco®) 1.08 มิลลิกรัมต่อมิลลิลิตร และเดกซาเมธาโซน (dexamethasone, Gibco®) 100 นาโนกรัมต่อมิลลิลิตร เป็นเวลา 14 วัน เปลี่ยนอาหารเลี้ยงเซลล์ทุก 3 วัน ทำการย้อมสีอะลิซารินเรดเอส (Alizarin Red S, Sigma-Aldrich, St. Louis, MO, USA) โดยทำการดูดอาหารเลี้ยงเซลล์ออก ล้างด้วยฟอสเฟตบัฟเฟอร์ซาลายน์ปราศจากเชื้อ เติมน้ำจนล้นทิ้งไว้ 10 นาที ล้างด้วยน้ำกลั่น เติมน้ำอะลิซารินเรดเอสทิ้งไว้ 3 นาที ล้างด้วยน้ำกลั่นอีกครั้ง แล้วตากแห้งในที่มืด

ตัวอย่างเซลล์ที่จะนำมาใช้ในการวิจัยครั้งนี้จะเป็นเซลล์จากผู้ป่วยจำนวน 3 โคน (ALV1, ALV2 และ ALV3) ที่ให้ผลบวกต่อการย้อมสีอะลิซารินเรดเอส และ

เป็นเซลล์ในรุ่นที่ 3 ถึง 8 เท่านั้น โดยแต่ละเซลล์ตัวอย่างจะถูกนำมาทดลองแบบเดียวกันซ้ำ 2 ครั้ง (duplicate) ในทุกขั้นตอนของวิธีการวิจัย

การเตรียมไลโปโพลีแซคคาไรด์ของเอสเชอริเชีย โคไล

สารบริสุทธิ์ไลโปโพลีแซคคาไรด์ของเอสเชอริเชีย โคไล L2630 (O111:B4, Sigma) ถูกเตรียมที่ความเข้มข้น 10 มิลลิกรัมต่อมิลลิลิตร ในน้ำกลั่นปราศจากเชื้อ (sterile distilled water) และเก็บไว้ที่อุณหภูมิ -20 องศาเซลเซียส จนกว่าจะนำมาใช้ในการทดลอง

การกระตุ้นเซลล์กระดูกเข้าพินมนุษย์ด้วยไลโปโพลีแซคคาไรด์

ทำการถ่ายเซลล์ที่เลี้ยงไว้ลงในจานเลี้ยงเซลล์แบบ 6 หลุม ให้มีความหนาแน่น 150,000 เซลล์ต่อหลุม ในอาหารเลี้ยงเซลล์ 10% FCS-DMEM เป็นเวลา 24 ชั่วโมง จากนั้นเปลี่ยนเป็นอาหารเลี้ยงเซลล์ที่มีส่วนผสมของซีรัมจากลูกอ่อนวัวร้อยละ 2.5 (2.5% FCS-DMEM) เป็นเวลา 24 ชั่วโมง แบ่งการทดลองเป็น 3 กลุ่ม ประกอบด้วยกลุ่มที่ไม่ได้รับการกระตุ้นใดๆ กลุ่มที่กระตุ้นเซลล์ด้วยไลโปโพลีแซคคาไรด์ที่ความเข้มข้น 0.5 ไมโครกรัมต่อมิลลิลิตร และ 5 ไมโครกรัมต่อมิลลิลิตร เป็นเวลา 24 ชั่วโมง

การกระตุ้นเซลล์กระดูกเข้าพินมนุษย์ด้วยไลโปโพลีแซคคาไรด์ในอาหารเลี้ยงเซลล์ที่มีฤทธิ์เหนี่ยวนำให้แปรสภาพเป็นเซลล์สร้างเนื้อเยื่อแข็ง

ทำการถ่ายเซลล์ที่เลี้ยงไว้ลงในจานเลี้ยงเซลล์แบบ 6 หลุม ให้มีความหนาแน่น 150,000 เซลล์ต่อหลุม ในอาหารเลี้ยงเซลล์ดีเอ็มอีเอ็มที่มีส่วนผสมของซีรัมจากลูกอ่อนวัวร้อยละ 10 เป็นเวลา 48 ชั่วโมง จากนั้นเปลี่ยนเป็นอาหารเลี้ยงเซลล์ที่มีฤทธิ์เหนี่ยวนำให้แปรสภาพเป็นเซลล์สร้างเนื้อเยื่อแข็ง และมีส่วนผสมของซีรัมจากลูกอ่อนวัวร้อยละ 2.5 (2.5% FCS) เป็นเวลา 7 วัน จากนั้นแบ่งกลุ่มทดลองเป็น 3 กลุ่ม ประกอบด้วยกลุ่มที่ไม่ได้รับการกระตุ้นใดๆ กลุ่มที่กระตุ้น

เซลล์ด้วยไลโปโพลีแซคคาไรด์ที่ความเข้มข้น 0.5 ไมโครกรัมต่อมิลลิลิตร และ 5 ไมโครกรัมต่อมิลลิลิตร ต่อไปอีกเป็นเวลา 7 วัน โดยยังคงใช้อาหารเลี้ยงเซลล์ ที่มีฤทธิ์เหนี่ยวนำให้แปรสภาพเป็นเซลล์สร้างเนื้อเยื่อ แข็งตลอดการทดลอง

การวิเคราะห์การแสดงออกของอินเตอร์ลิวคิน-8 ในระดับอาร์เอ็นเอ

หลังจากกระตุ้นเซลล์ด้วยไลโปโพลีแซคคาไรด์ ทำการสกัดอาร์เอ็นเอ (RNA extraction) โดยใช้ไตรซอล (Trizol® Reagent, Gibco®) ตามวิธีการที่แนะนำโดย บริษัทผู้ผลิต และเก็บไว้ที่อุณหภูมิ -80 องศาเซลเซียส ทำการสังเคราะห์คอมพลีเมนต์ทาร์ดีเอ็นเอสแตรนด์ ด้วยชุดสังเคราะห์สำเร็จรูป อิมพรอม-ทู ทีเอ็ม รีเวิร์ส

ทรานสคริปชัน (ImProm-II TM Reverse Transcription System) (Promega, Madison, WI, USA) ตาม คำแนะนำของบริษัทผู้ผลิต แล้วเก็บซีดีเอ็นเอที่อุณหภูมิ -20 องศาเซลเซียส ทำการเพิ่มขยายจำนวนดีเอ็นเอ ด้วยวิธีเรียล-ไทม์ โพลีเมอเรสเชนรีแอคชัน (real-time polymerase chain reaction: RT-PCR) โดยใช้น้ำยา สำเร็จรูป (LightCycler® 480 SYBR Green I Master, Roche Diagnostics Corporation, IN, USA) ตาม คำแนะนำของบริษัทผู้ผลิต โพรเมอร์ที่ใช้ในการศึกษานี้ ได้แก่ อินเตอร์ลิวคิน-8 และจีเอพีดีเอช (Glyceral-dehydes 3-phosphate dehydrogenase: GAPDH) สังเคราะห์โดยบริษัทไบโอจีโนมเมต (Biogenomed Co LTD., BKK, Thailand) มีความยาวระหว่าง 18 ถึง 25 เบส ดังตารางที่ 1

ตารางที่ 1 โพรเมอร์ของ อินเตอร์ลิวคิน-8 และจีเอพีดีเอช

โพรเมอร์	ลำดับเบส	แหล่งที่มา
GAPDH	forward; 5'-TGAAGGTCGGAGTCAACGGAT -3' reverse; 5'-TCACACCCATGACGAACATGG -3'	[32]
IL-8	forward; 5'-AGCTGGCCGTGGCTCTCT-3' reverse; 5'-CCTTGGCAAACTGCACCTT-3'	[33]

การศึกษาการแสดงออกของอินเตอร์ลิวคิน-8 ในระดับโปรตีนด้วยวิธีอีไลซา (enzyme-linked immunoadsorbent assay: ELISA)

หลังจากเลี้ยงเซลล์ในอาหารเลี้ยงเซลล์ที่มี ฤทธิ์เหนี่ยวนำให้แปรสภาพเป็นเซลล์สร้างเนื้อเยื่อ แข็ง และมีส่วนผสมของซีรัมจากลูกอ่อนวัวร้อยละ 2.5 เป็น เวลา 7 วัน แล้วกระตุ้นเซลล์ด้วยไลโปโพลีแซคคาไรด์ ต่อเป็นระยะเวลา 7 วัน ทำการเก็บอาหารเลี้ยงเซลล์ มาวิเคราะห์ระดับโปรตีนในอาหารเลี้ยงเซลล์ด้วยชุด ทดสอบอีไลซาสำเร็จรูป (Quantikine® ELISA, R&D Systems Inc, MN, USA) วัดค่าการดูดกลืนแสงที่ 450 นาโนเมตร แล้วนำค่าที่ได้มาคำนวณหาความเข้มข้นของอินเตอร์ลิวคิน-8 โดยคำนวณจากสมการที่ได้

จากการสร้างกราฟมาตรฐาน (standard curve) ซึ่ง แต่ละตัวอย่างจะถูกนำมาทดสอบซ้ำ 2 ครั้ง (duplicate) ตามคำแนะนำของบริษัทผู้ผลิต

การวิเคราะห์ข้อมูล

เปรียบเทียบการแสดงออกของอินเตอร์ลิวคิน-8 ในระดับอาร์เอ็นเอด้วยสถิติเชิงพรรณนา วิเคราะห์ ความแตกต่างในการแสดงออกของอินเตอร์ลิวคิน-8 ในระดับโปรตีนระหว่างกลุ่มต่างๆ โดยใช้สถิติการ วิเคราะห์ความแปรปรวนแบบทางเดียว (One-way ANOVA) ที่ระดับความเชื่อมั่นร้อยละ 95 (p<0.05) ด้วยโปรแกรมสำเร็จรูปเอสพีเอสเอส 14 (SPSS 14.0)

ผลการทดลอง

ในเบื้องต้นได้นำเซลล์กระดูกเบ้าฟันจากผู้ป่วย ทั้ง 3 โคน มาทดสอบความสามารถในการตกตะกอนแคลเซียมในจานเลี้ยง พบว่าที่ระยะเวลา 14 วัน เซลล์ที่เลี้ยงในอาหารที่มีฤทธิ์เหนี่ยวนำให้แปรสภาพเป็นเซลล์สร้างเนื้อเยื่อแข็งมีการตกตะกอนแคลเซียมโดยย้อมติดสีแดงของอะลิซารินเรดเอส ส่วนเซลล์ที่เลี้ยงในอาหารดีเอ็มอีเอ็มที่มีส่วนผสมของซีรัมจากลูกอ่อน

วัวร้อยละ 10 ไม่พบมีการตกตะกอนแคลเซียม และไม่มีการติดสีแดง ดังแสดงในรูปที่ 1 โดยเมื่อเปรียบเทียบระหว่างเซลล์กระดูกเบ้าฟันมนุษย์ทั้ง 3 โคน พบว่า ALV3 มีการติดสีแดงเข้ม ชัดเจนที่สุด ในขณะที่ ALV1 และ ALV2 มีการติดสีที่ใกล้เคียงกัน และอ่อนกว่า ALV3 เล็กน้อย



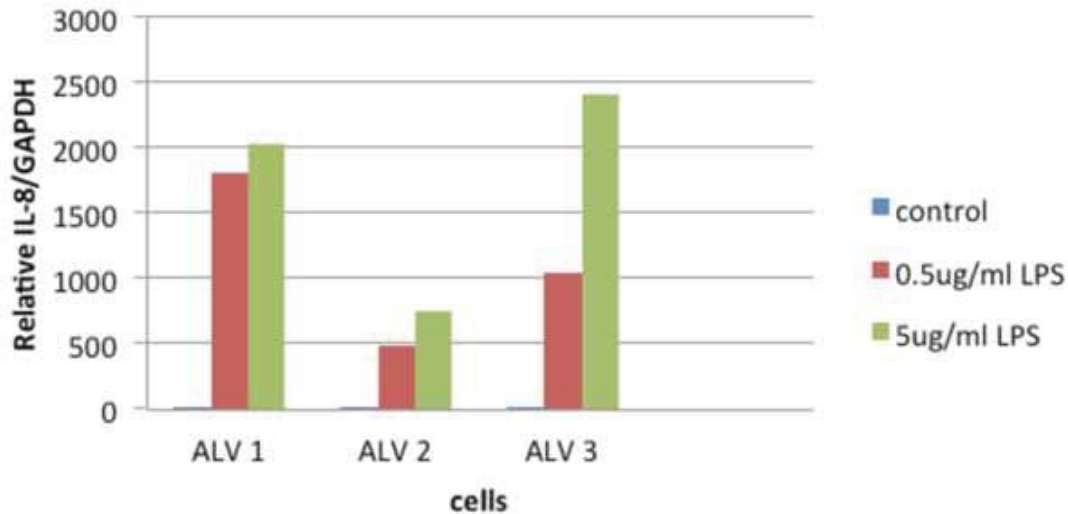
รูปที่ 1 ผลการย้อมสีอะลิซารินเรดเอสเพื่อทดสอบการตกตะกอนแคลเซียมในจานเลี้ยงโดยเปรียบเทียบระหว่างเซลล์ที่เลี้ยงด้วยอาหารเลี้ยงเซลล์ตามปกติ (a) และเซลล์ที่เลี้ยงด้วยอาหารที่มีฤทธิ์เหนี่ยวนำให้แปรสภาพเป็นเซลล์สร้างเนื้อเยื่อแข็ง (b)

ผลของไลโปโพลีแซคคาไรด์ต่อการแสดงออกของอินเตอร์ลิวคิน-8 ในเซลล์กระดูกเบ้าฟันมนุษย์

เซลล์กระดูกเบ้าฟันมนุษย์ทั้ง 3 โคน มีการแสดงออกของอินเตอร์ลิวคิน-8 ในระดับเอ็มอาร์เอ็นเอ โดยเปรียบเทียบกับยีนควบคุมจีโอพีทีเอชด้วยวิธีเรียล-ไทม์พีซีอาร์ ณ เวลา 24 ชั่วโมงพบว่าทั้ง 3 โคนมีการแสดงออกของอินเตอร์ลิวคิน-8 โดยมีการเพิ่มขึ้นของการแสดงออก เมื่อได้รับการกระตุ้นด้วยไลโปโพลีแซคคาไรด์ในปริมาณ 0.5 และ 5 ไมโครกรัมต่อมิลลิลิตร

อย่างไรก็ตามเซลล์กระดูกเบ้าฟันมนุษย์ทั้ง 3 โคนมีการเพิ่มขึ้นของอินเตอร์ลิวคิน-8 ที่ตอบสนองต่อไลโปโพลีแซคคาไรด์ปริมาณ 0.5 และ 5 ไมโครกรัมต่อมิลลิลิตร ดังนี้ เซลล์ ALV1 มีการแสดงออกของอินเตอร์ลิวคิน-8 เพิ่มขึ้นเฉลี่ย 1,809.00 และ 2,034.00 เท่า เซลล์ ALV2 มีการแสดงออกเพิ่มขึ้นเฉลี่ย 485.64 และ 752.56 เท่า และเซลล์ ALV3 มีการแสดงออกเพิ่มขึ้นเฉลี่ย 1,036.19 และ 2,410.71 เท่า ดังแสดงในรูปที่ 2

IL-8 mRNA expression

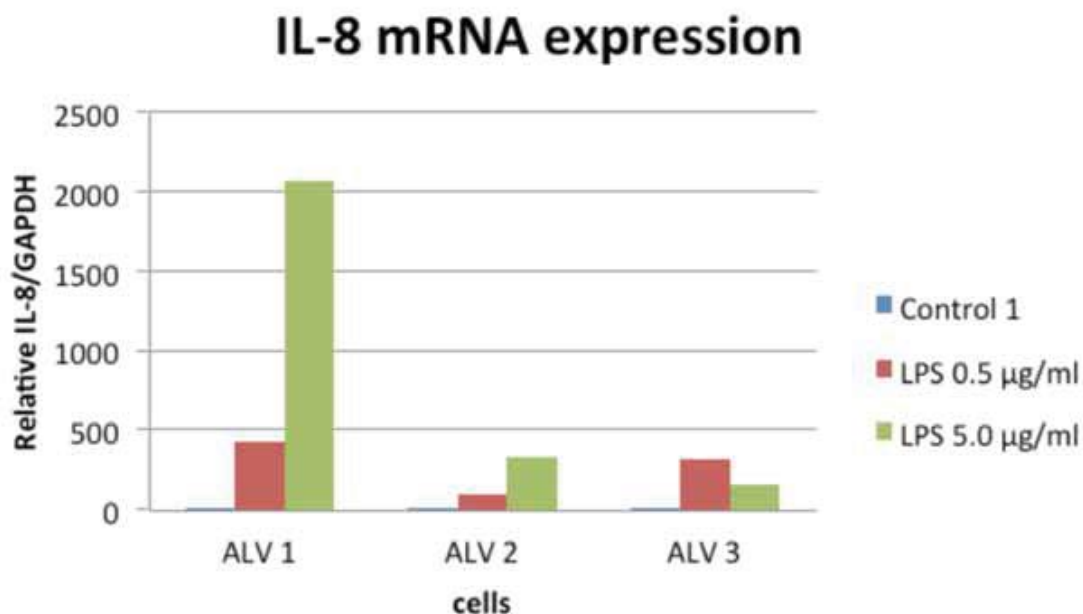


รูปที่ 2 ในอาหารเลี้ยงเซลล์ปกติ (2.5%FCS-DMEM) กราฟแท่งแสดงสัดส่วนการแสดงออกของอินเตอร์ลิวคิน-8 ในระดับอาร์เอ็นเอที่เพิ่มขึ้นในเซลล์กระดูกเบ้าฟันมนุษย์ภายหลังการกระตุ้นด้วยไลโปโพลีแซคคาไรด์ปริมาณ 0.5 และ 5 ไมโครกรัมต่อมิลลิลิตร โดยเปรียบเทียบกับยีนจีเอฟทีดีเอช และปรับให้กลุ่มควบคุมของเซลล์ในทุกไลน์มีค่าเท่ากับ 1

ผลของไลโปโพลีแซคคาไรด์ต่อการแสดงออกของอินเตอร์ลิวคิน-8 ในเซลล์กระดูกเบ้าฟันมนุษย์ในอาหารเลี้ยงเซลล์ที่มีฤทธิ์เหนี่ยวนำให้แปรสภาพเป็นเซลล์สร้างเนื้อเยื่อแข็ง

เมื่อทำการเลี้ยงเซลล์ในอาหารเลี้ยงเซลล์ที่มีฤทธิ์เหนี่ยวนำให้เกิดการแปรสภาพเป็นเซลล์สร้างเนื้อเยื่อแข็งเป็นเวลา 7 วัน และกระตุ้นด้วยไลโปโพลีแซคคาไรด์ของแบคทีเรียต่ออีก 7 วัน พบว่าเซลล์กระดูกเบ้าฟันมนุษย์เพิ่มการแสดงออกของอินเตอร์ลิวคิน-8 ในระดับอาร์เอ็นเอมากขึ้นเมื่อเปรียบเทียบกับ

กลุ่มควบคุมที่ไม่ได้รับการกระตุ้น โดยทั้ง 3 ไลน์มีระดับการตอบสนองที่ต่างกันดังนี้ เซลล์ ALV1 มีการเพิ่มการแสดงออกของอินเตอร์ลิวคิน-8 เป็น 429.87 และ 2,073.65 เท่า เซลล์ ALV2 เพิ่มแสดงออกเป็น 93.49 และ 322.45 เท่า ส่วนเซลล์ ALV3 เพิ่มการแสดงออกเป็น 311.60 และ 158.57 เท่า เมื่อกระตุ้นเซลล์กระดูกเบ้าฟันมนุษย์ด้วยไลโปโพลีแซคคาไรด์ปริมาณ 0.5 และ 5 ไมโครกรัมต่อมิลลิลิตรตามลำดับดังแสดงในรูปที่ 3



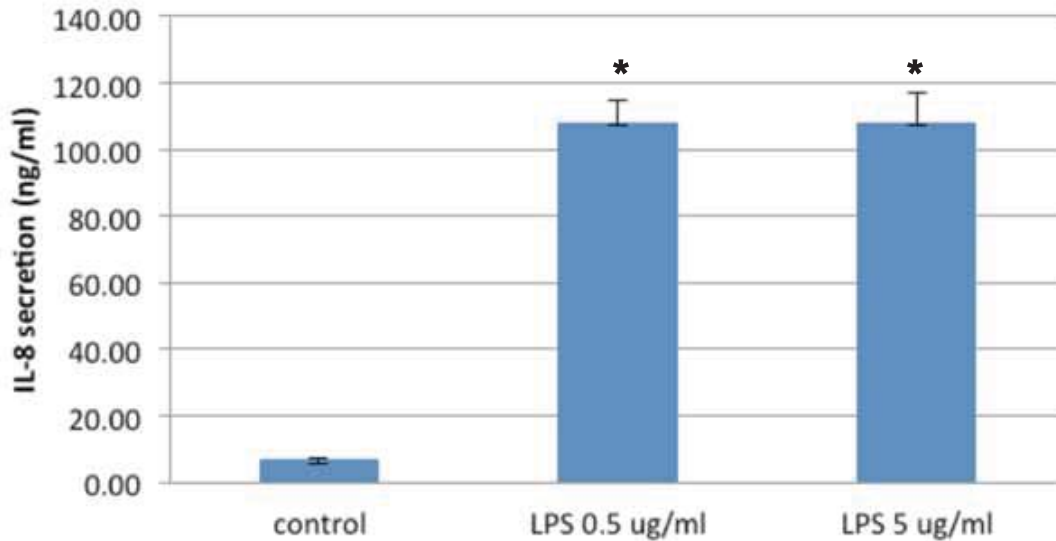
รูปที่ 3 ภายใต้สภาวะที่มีอาหารเลี้ยงเซลล์ที่มีฤทธิ์เหนี่ยวนำให้เกิดการแปรสภาพเป็นเซลล์สร้างเนื้อเยื่อแข็ง กราฟแท่งแสดงสัดส่วนการแสดงออกของอินเตอร์ลิวคิน-8 ในระดับอาร์เอ็นเอที่เพิ่มขึ้นภายหลังการกระตุ้น ด้วยไลโปโพลีแซคคาไรด์ปริมาณ 0.5 และ 5 ไมโครกรัมต่อมิลลิลิตร โดยเปรียบเทียบกันกับยีนจีเอฟทีดีเอช และปรับให้กลุ่มควบคุมของเซลล์ในทุกไลโนมีค่าเท่ากับ 1

ผลของไลโปโพลีแซคคาไรด์ต่อการหลังโปรตีน อินเตอร์ลิวคิน-8 ของเซลล์กระดูกเบาฟันมนุษย์

เซลล์กระดูกเบาฟันมนุษย์มีการหลังโปรตีน อินเตอร์ลิวคิน-8 จากกลุ่มควบคุมที่ไม่ได้รับการกระตุ้น ใดๆ ในปริมาณ 6.83 ± 0.44 นาโนกรัมต่อมิลลิลิตร และ มีการเพิ่มปริมาณเป็น 108.28 ± 6.18 นาโนกรัมต่อ มิลลิลิตร และ 108.42 ± 8.42 นาโนกรัมต่อมิลลิลิตร

เมื่อถูกกระตุ้นด้วยไลโปโพลีแซคคาไรด์ขนาด 0.5 และ 5 ไมโครกรัมต่อมิลลิลิตร ตามลำดับ โดยทั้ง 2 กลุ่ม มีความแตกต่างจากกลุ่มควบคุมอย่างมีนัยสำคัญทาง สถิติ ($p < 0.05$) กล่าวคือ ไม่มีความแตกต่างกันอย่าง มีนัยสำคัญ ระหว่างไลโปโพลีแซคคาไรด์ทั้ง 2 ขนาด ดังแสดงในรูปที่ 4

IL-8 secretion



รูปที่ 4 ภายใต้สภาวะที่มีอาหารเลี้ยงเซลล์ที่มีฤทธิ์เหนี่ยวนำให้เกิดการแปรสภาพเป็นเซลล์สร้างเนื้อเยื่อแข็ง กราฟแท่งแสดงปริมาณการหลั่งโปรตีนอินเตอร์ลิวคิน-8 จากเซลล์กระดูกเบ้าฟันมนุษย์ภายหลังการกระตุ้น ด้วยไลโปโพลีแซคคาไรด์ปริมาณ 0, 0.5 และ 5 ไมโครกรัมต่อมิลลิลิตร (* แสดงค่านัยสำคัญทางสถิติที่ $p < 0.05$ เมื่อเปรียบเทียบกับกลุ่มควบคุม)

บทวิจารณ์

อินเตอร์ลิวคิน-8 เป็นไซโตไคน์ที่มีฤทธิ์คีโมแทคติกที่รุนแรง (potent chemotactic) มีบทบาทที่สำคัญในกระบวนการอักเสบ โดยกระตุ้นให้เกิดการรวมตัวกันและกระตุ้นการทำงานของนิวโทรฟิล ส่งผลให้เกิดการทำลายเนื้อเยื่อ อินเตอร์ลิวคิน-8 ถูกสร้างและหลั่งออกมาโดยเซลล์หลายชนิด เช่น เซลล์ฟาโกไซต์ เซลล์โมโนไซต์ เซลล์เยื่อบุผิว เซลล์บุหลอดเลือด เซลล์สร้างเส้นใย รวมถึงเซลล์กระดูก [21-23] การศึกษาที่ผ่านมาพบว่าเนื้อเยื่อในฟันที่มีการอักเสบ และรอยโรครอบปลายรากฟันจะมีปริมาณไซโตไคน์อักเสบชนิดต่างๆ ทั้งอินเตอร์ลิวคิน-1 อินเตอร์ลิวคิน-6 อินเตอร์ลิวคิน-8 และเซลล์นิวโทรฟิล สูงขึ้นกว่าปกติ [24-26]

เซลล์ที่ใช้ในการศึกษาค้างนี้ เป็นเซลล์ปฐมภูมิที่เพาะเลี้ยงจากกระดูกเบ้าฟันของผู้ป่วย 3 ราย จึงมีความแตกต่างพื้นฐานบางประการ ทั้งระดับการสะสมแคลเซียมในจานเลี้ยงเมื่อกระตุ้นให้มีการแปรสภาพเป็นเซลล์สร้างเนื้อเยื่อแข็ง รวมถึงความแตกต่างในระดับการเพิ่มขึ้นของอินเตอร์ลิวคิน-8 ที่ตอบสนองต่อการกระตุ้นด้วยไลโปโพลีแซคคาไรด์ ทั้งนี้อาจเป็นผลมาจากธรรมชาติของการเป็นเซลล์ปฐมภูมิ หรือจากวิธีการตรวจสอบด้วยเทคนิคเรียล-ไทม์ พีซีอาร์ ซึ่งมีความอ่อนไหวเป็นอย่างมาก (high sensitivity) อีกด้วยการเลือกใช้เซลล์ไลน์ที่เป็นเซลล์กระดูกอาจช่วยให้ผลการทดลองเป็นไปในทิศทางเดียวกันมากขึ้น แต่การตอบสนองของเซลล์ไลน์อาจแตกต่างจากเซลล์ปฐมภูมิ

หรือเนื้อเยื่อกระดูกของมนุษย์ ในการทดลองเลี้ยงเซลล์ ในอาหารที่มีฤทธิ์กระตุ้นให้เกิดการแปรสภาพเป็น เซลล์สร้างเนื้อเยื่อแข็ง มีวัตถุประสงค์เพื่อให้เกิดการตอบสนองที่ใกล้เคียงกับเซลล์กระดูกมากที่สุด [27] ซึ่งผลการศึกษาที่ได้จากการเลี้ยงเซลล์ทั้ง 2 สภาวะ ดังกล่าวมีความสอดคล้องกัน กล่าวคือ เซลล์ปฐมภูมิ ทั้ง 3 โលน์มีการแสดงออกของอินเตอร์ลิวคิน-8 และ เมื่อถูกกระตุ้นด้วยไลโปโพลีแซคคาไรด์ส่งผลให้มีการแสดงออกของอินเตอร์ลิวคิน-8 เพิ่มขึ้นทั้งในระดับ อาร์เอ็นเอและโปรตีน ซึ่งมีความสอดคล้องกับการศึกษา ของ Yang และคณะในปี 2003 [22] ที่พบการแสดงออกของอินเตอร์ลิวคิน-8 ในเซลล์ไลน์ออสติโอซาร์โคมา (U2-OS) เพิ่มสูงขึ้นภายหลังการกระตุ้นด้วย แบคทีเรียฟอร์โฟโรโมแนส จิงจีวาสิส (*Porphyromonas gingivalis*: *P.gingivalis*) พอร์โฟโรโมแนส เอนโดดอนทาลิส (*Porphyromonas endodontalis*: *P. endodontalis*) และพรีโวเทลลา อินเทอร์มีเดีย (*Prevotella intermedia*: *P. intermedia*) แต่เมื่อเปรียบเทียบผลจากการเลี้ยง เซลล์ใน 2 สภาวะ สามารถสังเกตเห็นความแตกต่าง ของผลการทดลองได้เช่นกันแม้จะเป็นเซลล์จากผู้ป่วย รายเดียวกัน โดยอาจมีสาเหตุจากการที่เซลล์อยู่ในระยะ แปรสภาพ (differentiation stage) ที่ต่างกัน [27] และ ระยะเวลาที่กระตุ้นเซลล์ด้วยไลโปโพลีแซคคาไรด์ แตกต่างกัน

ผลจากการศึกษานี้ยังสนับสนุนผลการวิจัยต่างๆ ที่ศึกษาในเซลล์ชนิดอื่นๆ ของร่างกายมนุษย์ เช่น การ ศึกษาของ Yamaji และคณะในปี 1995 [28] ซึ่งพบว่า เซลล์สร้างเส้นใยเอ็นดปริทันต์มีการแสดงออกของ อินเตอร์ลิวคิน-8 เพิ่มขึ้น ทั้งในระดับอาร์เอ็นเอ และโปรตีน โดยเพิ่มขึ้นตามปริมาณการกระตุ้นด้วย ไลโปโพลีแซคคาไรด์ของแบคทีเรียเอสเชอริเชีย โคไล และสอดคล้องกันกับการศึกษาของ Herath และคณะ ในปี 2011 [29] ที่พบปริมาณการหลั่งอินเตอร์ลิวคิน-8 เพิ่มขึ้น เมื่อกระตุ้นเซลล์สร้างเส้นใยเหงือกด้วยไลโปโพลี แซคคาไรด์ของแบคทีเรียเอสเชอริเชีย โคไล และ แปรผันตามปริมาณไลโปโพลีแซคคาไรด์ที่ใช้ในการ กระตุ้น แต่การศึกษานี้ไม่พบความแตกต่างของปริมาณ

การหลั่งอินเตอร์ลิวคิน-8 หลังกระตุ้นด้วยไลโปโพลี แซคคาไรด์ทั้ง 2 ปริมาณ ซึ่งอาจเป็นผลจากความแตกต่าง ระหว่างเซลล์แต่ละชนิด ในขณะที่สังเกตพบว่าการ แสดงออกในระดับอาร์เอ็นเอมีแนวโน้มที่จะเพิ่มมากขึ้นตามปริมาณของไลโปโพลีแซคคาไรด์ จึงควรมีการศึกษาเพิ่มเติมต่อไป โดยเพิ่มจำนวนในการทดลองให้ เพียงพอที่จะทดสอบหาความสัมพันธ์ทางสถิติ

ผลการศึกษาที่ยืนยันว่า เซลล์กระดูกของมนุษย์ มีการตอบสนองต่อไลโปโพลีแซคคาไรด์ด้วยการหลั่ง อินเตอร์ลิวคิน-8 จึงน่าจะมีส่วนเกี่ยวข้องกับการเกิด พยาธิสภาพหรือการลุกลามของรอยโรคในกระดูก ขากรรไกร [30] โดยอินเตอร์ลิวคิน-8 ที่พบในรอยโรค รอบปลายรากฟันกระตุ้นให้เซลล์อักเสบ เช่น นิวโทรฟิล และทีเซลล์ (T cells) รวมตัวกัน มีการปล่อยเอนไซม์ ต่างๆออกมา เหนี่ยวนำให้เกิดการเจริญของเซลล์สลาย กระดูก ซึ่งก่อให้เกิดการทำลายเนื้อเยื่อรอบปลายรากฟัน [31] นอกจากนี้ยังพบว่าในรอยโรครอบปลายรากฟัน ของผู้ป่วยที่มีอาการอักเสบจะมีปริมาณอินเตอร์ลิวคิน-8 และเซลล์อักเสบนิวโทรฟิลในระดับที่สูงกว่าผู้ป่วยที่ ไม่มีอาการ

การศึกษาเพิ่มเติมเกี่ยวกับการยับยั้งการหลั่ง และการทำงานของอินเตอร์ลิวคิน-8 น่าจะเป็นประโยชน์ ต่อการพัฒนาไปสู่แนวทางในการรักษาโรคใน ช่องปากต่อไป

บทสรุป

ภายใต้สภาวะของการวิจัยนี้ สามารถสรุปได้ ว่าเมื่อได้รับการกระตุ้นด้วยไลโปโพลีแซคคาไรด์ เซลล์ กระดูกเบ้าฟันมนุษย์มีการเพิ่มการแสดงออกในระดับ อาร์เอ็นเอและโปรตีน ของอินเตอร์ลิวคิน-8 มากขึ้น

กิตติกรรมประกาศ

คณะผู้วิจัยขอขอบคุณคณะทันตแพทยศาสตร์ มหาวิทยาลัยศรีนครินทรวิโรฒที่ให้ทุนสนับสนุนการ วิจัยจากเงินรายได้มหาวิทยาลัยประจำปีการศึกษา 2555

เอกสารอ้างอิง

1. Nair SP, Meghji S, Wilson M, Reddi K, White P, Henderson B. Minireview: Bacterially induced bone destruction: Mechanisms and misconceptions. *Infect Immun* 1996; 64(7): 2371-2380.
2. Fouad AF, Acosta AW. Periapical lesion progression and cytokine expression in an LPS hyporesponsive model. *Int Endod J* 2001; 34(7): 506-513.
3. Gazivoda D, Dzopalic T, Bozic B, Tatomirovic Z, Brkic Z, Colic M. Production of proinflammatory and immunoregulatory cytokines by inflammatory cells from periapical lesions in culture. *J Oral Pathol Med* 2009.; 38(2): 605-11.
4. Jiang Y, Russell R, Schilder H, Graves DT. Endodontic pathogens stimulate Monocyte Chemoattractant Protein-1 and interleukin-8 in Mononuclear Cells *J Endod* 1998; 24(2): 86-90.
5. Dommisch H, Steglich M, Eberhard J, Winter J, Jepsen S. Phosphatidylinositol-3-kinase inhibitor LY 294002 blocks Streptococcus mutans-induced interleukin (IL)-6 and IL-8 gene expression in odontoblast-like cells. *Int Endod J* 2008; 41(9): 763-771.
6. Chaudhary LR, Avioli LV. Dexamethasone regulates IL-1 β and TNF- α Induced Interleukin-8 production in human bone marrow stromal and osteoblast-like cells. *Calcif Tissue Int* 1994; 55(1): 16-20.
7. de Sa AR, Pimenta FJGS, Dutra WO, Gomez RS. Immunolocalization of interleukin4, interleukin6, and lymphotoxin α in dental granuloma. *Oral Surg Oral Med Oral Pathol Oral Radiol Endod* 2003; 96(5): 356-60.
8. Marton IJ, Rot A, Schwarzing E, Szakall S, Radics T, Valyi-Nagy I, et al. Differential in situ distribution of interleukin-8, monocyte chemoattractant protein-1 and Rantes in human chronic periapical granuloma. *Oral Microbiol Immunol* 2000; 15(3): 139-150.
9. McLachlan JL, Sloan AJ, Smith AJ, Landini G, Cooper PR. S100 and cytokine expression in caries. *Infect Immun* 2004; 72(7): 4102-4108.
10. Karapanou V, Kempuraj D, Theoharides TC. Interleukin-8 is increased in gingival crevicular fluid from patients with acute pulpitis. *J Endod* 2008; 34(2): 148-151.
11. Gamonal J, Acevedo A, Bascones A, Jorge O, Silva A. Level of interleukin-1 beta, -8, and -10 and RANTES in gingival crevicular fluid and cell populations in adult periodontitis patients and the effect of periodontal treatment. *J Periodontol* 2000; 71(10): 1535-1545.
12. Tsai CC, Ho YP, Chen CC. Level of interleukin-1 beta and Interleukin-8 in gingival crevicular fluids in adult periodontitis. *J Periodontol* 1995; 66(10): 852-859.
13. Sismey-Durrant HJ, Atkinson SJ, Hopps RM, Heath JK. The effect of lipopolysaccharide from Bacteroids Gingivalis and Muramyl dipeptide on osteoblast collagenase release. *Calcif Tissue Int* 1989; 44(5): 361-363.
14. Ishimi Y, Miyaura C, Jin CH, Akatsu T, Abe E, Nakamura Y, et al. IL-6 is produced by osteoblasts and induces bone resorption. *J Immunol* 1990; 145(10): 3297-3303.

15. Maruyama K, Sano G, Matsuo K. Murine osteoblasts respond to LPS and IFN- γ similarly to macrophages. *J Bone Miner Metab* 2006; 24(6): 454-460.
16. Pelt P, Zimmermann B, Ulbrich N, JP. Bemimoulin. Effects of lipopolysaccharide extracted from *Prevotella intermedia* on bone formation and on the release of osteolytic mediators by fetal mouse osteoblasts in vitro. *Arch Oral Biol* 2002; 47(12): 859-866.
17. Sosroseno W, Bird PS, Seymour GJ. Nitric oxide production by a human osteoblast cell line stimulated with *Aggregatibacter actinomycetemcomitans* lipopolysaccharide. *Oral Microbiol Immunol* 2009; 24(1): 50-55.
18. Graves DT, Oates T, Garlet GP. Review of osteoimmunology and the host response in endodontic and periodontal lesions. *J Oral Microbiol* 2011; 3: 5304-5318.
19. Tripuwabhut P, Mustafa K, Brudvik P, Mustafa M. Initial responses of osteoblasts derived from human alveolar bone to various compressive forces. *Eur J Oral Sci* 2012; 120(4): 311-318.
20. อินทรวงศ์เยาว์ฟ้า, นีรดาธเนศวร, ชื่นชีวิต ทองศิริ. การตอบสนองของเซลล์สร้างกระดูกจากกระดูกเข้าฟันมนุษย์เมื่อกระตุ้นด้วยไลโปโพลีแซคคาไรด์ต่อการแสดงออกของยีนอินเตอร์ลิวคิน 6 และผลต่อการทำงานของอัลคาไลน์ฟอสฟาเตส. การประชุมวิชาการระดับชาติเพื่อการพัฒนาด้านวิจัยอย่างยั่งยืน; 2555 25-26 ธันวาคม; กรุงเทพมหานคร, ประเทศไทย. มหาวิทยาลัยศรีนครินทรวิโรฒ 2555. 240-248.
21. Baggiolini M. Novel aspects of inflammation: interleukin-8 and related chemotactic cytokines. *Clin Investig* 1993; 71(10): 812-814.
22. Yang LC, Huang FM, Lin CS, Liu CM, Lai CC, Chang YC. Induction of interleukin-8 gene expression by black-pigmented *Bacteroides* in human pulp fibroblasts and osteoblasts. *Int Endod J* 2003; 36(11): 774-779.
23. Asano M, Yamaguchi M, Nakajima R, Fujata S, Utsunomiya T, Yamamoto H, et al. IL-8 and MCP-1 induced by excessive orthodontic force mediates odontogenesis in periodontal tissues. *Oral Diseases* 2011; 17(5): 489-498.
24. Shimauchi H, Takayama S, Narikawa-Kiji M, Shimabukuro Y, Okada H. Production of interleukin-8 and nitric oxide in human periapical lesions. *J Endod* 2001; 27(12): 749-752.
25. Huang GTJ, Potente AP, Kim JW, Chugal N, Zhang X. Increased interleukin-8 expression in inflamed human dental pulps. *Oral Surg Oral Med Oral Pathol Oral Radiol Endod* 1999; 88: 214-220.
26. Lukic A, Vojvodic D, Majstorovic I, Colic M. Production of interleukin-8 in vitro by mononuclear cells isolated from human periapical lesions. *Oral Microbiol Immunol* 2006; 21(5): 296-300.
27. Hughes FJ, Aubin JE. Culture of cells of the osteoblast lineage. In: Arnett TR, B. H, editors. *Methods in bone biology*: Chapman&Hall 1997; p. 1-49.
28. Yamaji Y, Kobuta T, Sasaguri K, Sato S, Suzuki Y, Kumada H, et al. Inflammatory cytokine gene expression in human periodontal ligament fibroblasts stimulated with bacterial lipopolysaccharides. *Infect Immun* 1995; 63(9): 3576-3581.

29. Herath TDK, Wang Y, Seneviratne CJ, Lu Q, Darveau RP, Wang CY, et al. Porphyromonas gingivalis lipopolysaccharide lipid A heterogeneity differentially modulates the expression of IL-6 and IL-8 in human gingival fibroblasts. *J Clin Periodontol* 2011; 38(8): 694-701.

30. Nagaoka S, Tokuda M, Sakuta T, Taketoshi Y, Tamura M, Takada H, et al. Interleukin-8 gene expression by human dental pulp fibroblast in cultures stimulated with Prevotella intermedia lipopolysaccharide. *J Endodon* 1996; 22(1): 9-12.

31. Bendre MS, Montague DC, Peery T, Akel NS, Gaddy D, Suva LJ. Interleukin-8 stimulation of osteoclastogenesis and bone resorption is a mechanism for the increased osteolysis of metastatic bone disease. *Bone* 2003; 33(1): 28-37.

32. รุ่งทิวา ปันป่า, ณรงค์ศักดิ์ เหล่าศรีสิน, นีรดา ธเนศวร. การแสดงออกของเอชเอ็มจีบี-1 ในเซลล์ไฟโบรบลาสต์ของเหงือกและเอ็นยึดปริทันต์มนุษย์เมื่อได้รับการกระตุ้นด้วยเชื้อก่อโรคปริทันต์ [วิทยานิพนธ์ระดับปริญญาโท]. มหาวิทยาลัยศรีนครินทรวิโรฒ: กรุงเทพมหานคร; 2552.

33. Li B, Dong C, Wang G, Zheng H, Wang X, Bai C. Pulmonary epithelial CCR3 promotes LPS-induced lung inflammation by mediating release of IL-8. *J Cell Physiol* 2011; 226(9): 2398-2405.

ติดต่อบทความ:

ทันตแพทย์หญิง จรัสลักษณ์ สุขอวยชัย

กลุ่มงานบริการทันตสาธารณสุข 3 กองทันตสาธารณสุข
สำนักอนามัย ศูนย์บริการสาธารณสุข 10 ถนนสุขุมวิท
แขวงคลองตัน เขตคลองเตย กรุงเทพมหานคร 10110
โทรศัพท์ 02-258-4892

จดหมายอิเล็กทรอนิกส์ sjarasluck@gmail.com

Corresponding author:

Dr. Jarasluck Suk-auychai

Department of Dental Health Services 3,
Dental Health Division, Bureau of Health,
Health Center 10, Sukhumvit road, Klongton,
Klongtoey, Bangkok 10110

Tel: 02-258-4892

Email: sjarasluck@gmail.com